

ного поля) из данных T_N и T_K определены константы внутри- и межподрешеточного обмена: $J_{11}=0.237$, $J_{12}=-0.712$ К. В критической точке R сходятся линии фазовых переходов 1-го и 2-го рода АФМ \leftrightarrow ПМ (ФП 1-го рода при $T < T_R$).

Аномальный рост поля перехода при низких температурах объясняется возрастанием магнитного момента, индуцированного взаимодействием ядра Dy^{3+} ($I=5/2$) с $4f$ -оболочкой, которое весьма значительно в $DyBa_2Cu_3O_{7-\delta}$ по данным мессбауэровских измерений (при $T \sim 0$ поле на ядре достигает 4300 кЭ) [2]. Влияние сверхтонкого взаимодействия проявляется также в возрастании теплоемкости $DyBa_2Cu_3O_{7-\delta}$ при $T < 0.3$ К [5], когда температура становится сравнимой с расщеплением ядерных подуровней. В этом случае $DyBa_2Cu_3O_{7-\delta}$ можно рассматривать как сильносвязанную электронно-ядерную систему. Теория [4] качественно описывает возрастание $H_c(T)$ при $T \rightarrow 0$ при учете сверхтонкого взаимодействия, оцененного из мессбауэровских данных.

В сверхпроводящем образце ($T_c=88.5$ К, температура АФМ упорядочения равна 1.14 К в поле 1 кЭ) подобные метамагнитные переходы удалось выявить лишь при очень низких температурах $T < 0.3$ К (поле переходов H_c на ~ 3 кЭ превышает такое значение полей для тетрагональной структуры). Здесь также наблюдались аномалии в районе $T=0.23$ К, где восприимчивость в поле достигала максимума, и возрастание поля перехода при $T \rightarrow 0$.

Авторы выражают благодарность Д. А. Яблонскому и В. Н. Криворучко за обсуждение работы и ценные замечания.

Список литературы

- [1] Дорошенко Н. А., Левченко Г. Г., Маркович В. И., Ревенко Ю. Ф., Фята И. М. // ФТТ. 1989. Т. 31. № 8. С. 282—284.
- [2] Hodges J. A., Imbert P., Marimon da Cunha J. B., Hammamm J., Vincent E., Sanchez J. P. // Physica C. 1988. V. 156. N 1. P. 143—156.
- [3] Bienenstock A. // J. Appl. Phys. 1966. V. 37. N 3. P. 1459—1461.
- [4] Баръяхтар В. Г., Витебский И. М., Яблонский Д. А. // ФТТ. 1977. Т. 19. № 7. С. 2135—2142.
- [5] Dunlap B. D., Slaski M., Hinks D. G., Soderholm L., Bena M., Zhang K., Segre C., Crabtree G. W., Kwok W. K., Malik S. K., Schuller I. K., Jorgenson J. D., Sugaila A. // J. Magn. and Magn. Mat. 1987. V. 68. N 2. P. 139—144.

Донецкий физико-технический институт АН УССР
Донецк

Поступило в Редакцию
30 июня 1989 г.

УДК 539.2; 539.292

© Физика твердого тела, том 32, № 2, 1990
Solid State Physics, vol. 32, N 2, 1990

ОПТИЧЕСКИЕ СПЕКТРЫ И СТРУКТУРА ВАЛЕНТНОЙ ЗОНЫ ТВЕРДОГО РАСТВОРА $AgGaS_{2(1-x)}Se_{2x}$

В. Ф. Агекян, Д. Раджаб, А. Ю. Серов

Кристаллы группы $A^I B^{\text{II}} C^{\text{VI}}$ (симметрия халькопирита $\bar{4}2m$) являются тройными аналогами бинарных кристаллов $A^{\text{II}} B^{\text{VI}}$. Некоторые из многочисленных веществ этой группы имеют практическое значение: $CuInSe_2$ используется как преобразователь солнечной энергии, $AgGaS_2$ интересен сильными выраженнымми нелинейными свойствами и возможностью применения в электрооптических затворах.

В настоящей работе исследовано изменение параметров зонной структуры твердого раствора (ТР) $AgGaS_{2(1-x)}Se_{2x}$ в зависимости от значе-

ния x по спектрам поглощения, люминесценции и фотопроводимости в области фундаментального края и определено время затухания экситонного излучения в AgGaS_2 . Кристаллы $\text{AgGaS}_{2(1-x)}\text{Se}_{2x}$ были выращены методом перекристаллизации и обладали хорошей естественной поверхностью.

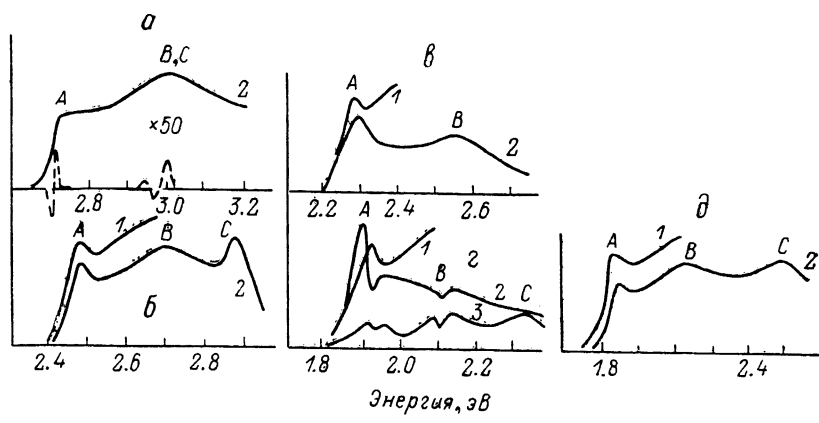


Рис. 1. Спектры поглощения (1) и фотопроводимости при $T=77$ (2) и 4 К (3) кристаллов $\text{AgGaS}_{2(1-x)}\text{Se}_{2x}$ для $x=0$ (а), 0.25 (б), 0.5 (в), 0.9 (г), 1 (д).

Штрихи — спектр электроотражения AgGaS , при 77 К из [2].

Спектры поглощения. В спектрах поглощения ТР, как видно на рис. 1, хорошо разрешается пик экситонного поглощения (A -экситон). Измерение поглощения в сравнительно толстых образцах оказывается возможным в «запрещенной» поляризации благодаря не-

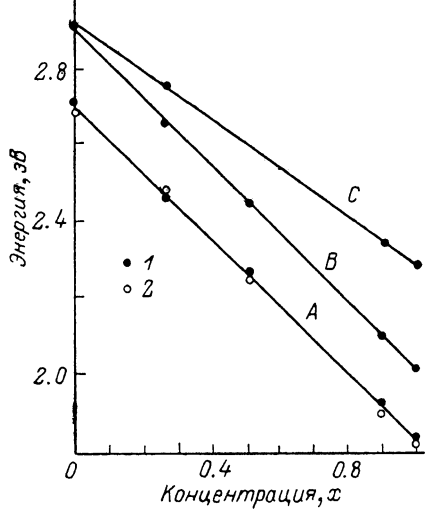


Рис. 2. Энергии экситонных пиков A , B , C , соответствующих валентным подзонам Γ_7 , Γ_6 , Γ_7 , в кристаллах $\text{AgGaS}_{2(1-x)}\text{Se}_{2x}$ для значений x от 0 до 1 .

Данные получены из спектров фотопроводимости (1) и поглощения (2). $T=77$ К.

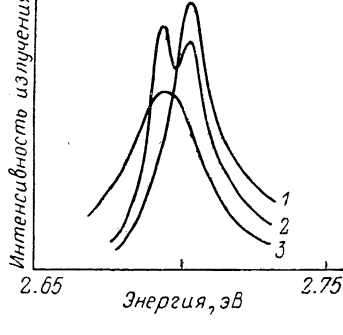


Рис. 3. Люминесценция свободного (I) и связанного (II) экситонов в $\text{AgGaS}_{2(1-x)}\text{Se}_{2x}$ для уровней возбуждения $I_0=1.5 \cdot 10^4$ (1), $5 \cdot 10^4$ (2), $1 \cdot 10^6$ Вт·см $^{-2}$ (3).

большому значению коэффициента поглощения, обусловленному спин-орбитальным взаимодействием валентных подзон. Полученные спектры дали возможность определить зависимость ширины запрещенной зоны $E_g(x)$ от относительной концентрации анионных компонент (рис. 2).

Спектральное распределение фотопроводимости. Валентная зона кристаллов $A^I B^{II} C_2^{IV}$ расщеплена кристаллическим полем и спин-орбитальным взаимодействием на три подзоны Γ_7 , Γ_6 , Γ_7 , [1], соответственно в спектрах электроотражения $AgGaSe_2$ присутствуют три экситонные серии A , B и C , но в $AgGaS_2$ наблюдаются лишь два пика A и B [2], что является основанием для предположения о близости энергий подзон Γ_6 и Γ_7 в $AgGaS_2$. Детали структуры низкотемпературных спектров отражения $AgGaS_2$, [3] в области B -экситона привели к выводу о том, что энергии B - и C -экситонов отличаются на 0.03 эВ. Для выяснения зависимости спин-орбитального расщепления валентных подзон (рис. 1). Эта зависимость приведена на рис. 2; видно, что она согласуется с имеющимися для $AgGaS_2$ и $AgGaSe_2$ данными [2, 3] и подтверждает, что расщепление нижних валентных подзон уменьшается в сторону $x=0$ до величины, близкой к нулю.

Спектр люминесценции. Люминесценция исследовалась при импульсном возбуждении. Это позволило выделить линии излучательной аннигиляции экситонов, поскольку пикиовая интенсивность в импульсе лазера столь велика, что примесная люминесценция насыщается и создаются благоприятные условия для наблюдения люминесценции A -экситона в несовершенных образцах с x , отличным от 0 и 1. Этот эксперимент подтвердил данные о $E_g(x)$, полученные из спектров поглощения.

В $AgGaS_2$ исследована кинетика люминесценции двух экситонных состояний — свободного и связанного — при $T=4$ и 77 К (рис. 3). Время затухания соответствующих полос в условиях межзонного возбуждения оказалось практически одинаковым и равным 30 нс. Ожидалось, что увеличение уровня возбуждения будет менять относительные интенсивности полос в пользу свободного экситона вследствие насыщения экситона, связанного на дефекте. В действительности наблюдается обратная картина, которую мы интерпретируем следующим образом: связанный экситон соответствует комплексу с участием нейтрального дефекта, и в компенсированном полупроводнике, где при низких температурах большинство дефектов заряжено, интенсивное световое возбуждение преобразует заряженные дефекты в нейтральные и, таким образом, обеспечивает сверхлинейный рост интенсивности линии связанного экситона.

Список литературы

- [1] Tell B., Kasper H. M. // Phys. Rev. B. 1973. V. 7. N 2. P. 740—748.
- [2] Tell B., Shay J. L., Kasper H. M. // Phys. Rev. B. 1972. V. 6. N 8. P. 3008—3012.
- [3] Artus L. // J. Phys. C. 1987. V. 20. N 9. P. 1365—1373.

Ленинградский государственный университет
Ленинград

Поступило в Редакцию
10 июля 1989 г.

УДК 548.4

© Физика твердого тела, том 32, № 2, 1990
Solid State Physics, vol. 32, N 2, 1990

СУПЕРИОННЫЕ ПРОВОДНИКИ В СИСТЕМЕ $Na_5FeP_2O_9$ — NaF

A. K. Иванов-Шиц, С. Е. Сигарёв, В. А. Тимофеева

Интенсивный поиск новых суперионных материалов в классе $Na_{8-z}M'P_2O_9$ (где M — катион металла, z — валентность катиона M) привел к синтезу кристаллов $Na_6CaP_2O_9$, [1] и $Na_4TiP_2O_9$, [2—4], в которых проводимость обусловлена переносом ионов натрия.